

сообщения  
объединенного  
института  
ядерных  
исследований  
дубна

3789/2-80

11/8-80

1-80-362

ИССЛЕДОВАНИЕ РАСПРЕДЕЛЕНИЙ  
ПО ПОПЕРЕЧНЫМ ИМПУЛЬСАМ  
 $\pi^+$ -МЕЗОНОВ И ПРОТОНОВ  
В РЕАКЦИИ  $\bar{p}p$  ПРИ 22,4 ГэВ/с

Сотрудничество: Алма-Ата - Дубна - Москва -  
Прага - Тбилиси - Хельсинки

1980

1-80-362

ИССЛЕДОВАНИЕ РАСПРЕДЕЛЕНИЙ  
ПО ПОПЕРЕЧНЫМ ИМПУЛЬСАМ  
 $\pi^+$ -МЕЗОНОВ И ПРОТОНОВ  
В РЕАКЦИИ  $\bar{p}p$  ПРИ 22,4 ГэВ/с

Сотрудничество: Алма-Ата - Дубна - Москва -  
Прага - Тбилиси - Хельсинки

$$\int \frac{d\sigma}{dp_T} \frac{dp_T}{p_T} = \int \frac{d\sigma}{dp_T} \frac{dp_T}{p_T} \frac{p_T^2}{p_T^2} = \int \frac{d\sigma}{dp_T} p_T^2 dp_T$$

В настоящей работе мы продолжаем исследование реакций

$$\bar{p}p \rightarrow \pi^+ + X \quad /1/$$

$$\bar{p}p \rightarrow p + X, \quad /2/$$

начатое в работе <sup>1/</sup>, на основе статистически разделенных спектров положительно заряженных частиц. Экспериментальный материал  $\sim 2,2 \cdot 10^4$  неупругих событий от 2 до 14-лучевых включительно/ был получен на 2-метровой жидколоводородной камере "Людмила", облученной сепарированными антипротонами с импульсом 22,4 ГэВ/с.

1. Изучение зависимости образования частиц разного сорта от поперечного импульса представляет большой интерес в рамках различных моделей, таких, как статистические, кварк-партоные и т.п.

Распределения  $\frac{d\sigma}{dp_t^2}$  и  $\frac{d\sigma_\pi}{dp_t^2}$  для инклузивного и полуинклузивного рождения  $\pi^+$ -мезонов и протонов приведены на рис.1-3. Эти распределения были аппроксимированы в области  $p_t^2 \leq 1,5 \text{ ГэВ}/c^2$  выражением

$$\frac{d\sigma}{dp_t^2} = a \frac{e^{-b_1 p_t^2}}{I_1} + (1 - a) \frac{e^{-b_2 p_t^2}}{I_2}, \quad /3/$$

где  $I_{1,2}$  - нормировочные интегралы, а  $a, b_1$  и  $b_2$  - свободные параметры, приведенные в табл.1. Иногда изменение наклона в  $p_t^2$ -спектрах связывают с непрямым рождением конечных адронов. Увеличение наклона в  $p_t^2$ -спектрах при малых  $p_t^2$  возникает также в статистических моделях <sup>2/</sup>.

Сплошные кривые на рис.1-3 - расчет по кварк-партоной модели Монте-Карло <sup>3/</sup>. Заметим, что в модели учитываются резонысы только из низших мультиплетов  $SU(6)$ , а  $p_t^2$  - распределения кварков как морских, так и валентных определяются множителем  $\sim e^{-\theta p_t^2}$ . Модель качественно описывает экспериментальные данные в области малых  $p_t^2$ , но существенно занижает сечения рождения  $\pi^+$ -мезонов и протонов в области больших  $p_t^2$ .

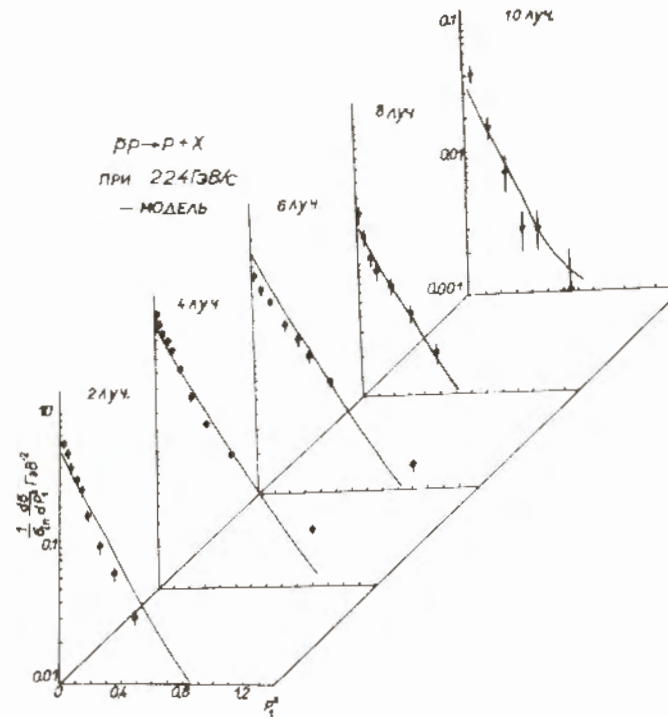
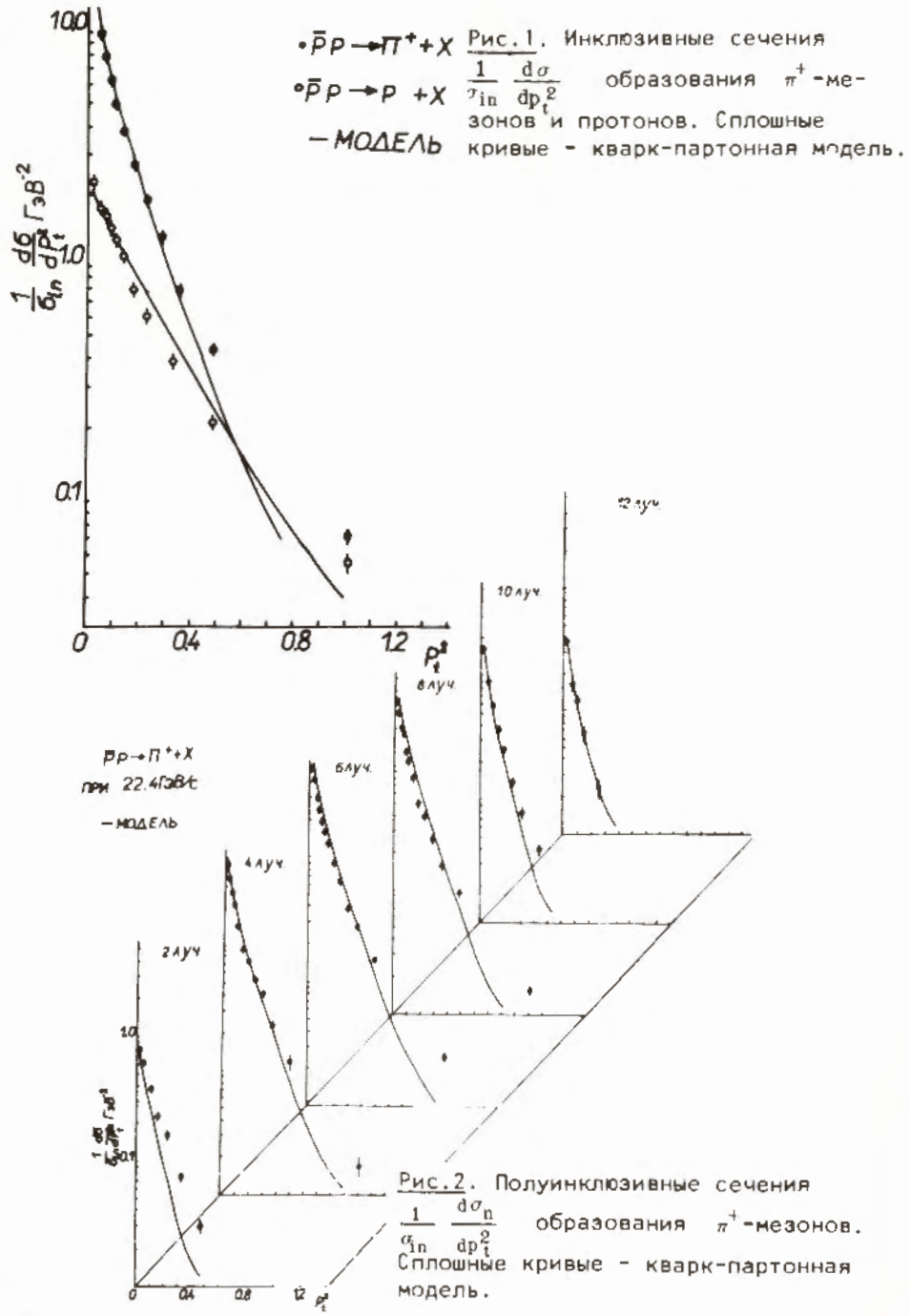


Рис.3. Полуинклюзивные сечения  $\frac{1}{\sigma_{in}} \frac{d\sigma_n}{dp_t^2}$  образования протонов. Сплошные кривые — кварт-партонная модель.

На рис.4 показаны средние значения  $p_t$  для  $\pi^+$ -мезонов и протонов в зависимости от  $x = \frac{p_t^*}{p_{t,max}^*}$ . Видно, что так называемый "эффект чайки" для  $\pi^+$ -мезонов проявляется ярче с ростом множественности, тогда как кварт-партонная модель — сплошная кривая — не описывает этого явления. Вызвано это, по-видимому, отсутствием в модели адронных струй /4/ и тяжелых резонансов, распадающихся каскадно. В случае протонов в эксперименте наблюдается непрерывное увеличение  $\langle p_t \rangle$  с ростом  $x$  в отличие от кварт-партонной модели.

2. При изучении инклюзивных дважды дифференциальных сечений  $F(y^*, p_t^2) = \frac{1}{\pi} \frac{d^2\sigma}{dy^* dp_t^2}$  образования  $\pi^+$ -мезонов и протонов в

Таблица 1

Результаты аппроксимации инклузивных  $d\sigma/dp_t^2$  и полу-инклузивных  $d\sigma_n/dp_t^2$  распределений для  $\pi^+$ -мезонов и протонов выражением /3/

Множественность	Частица	$a$	$b_1$	$b_2$	$\chi^2/ND$
2	$\pi^+$	$0,71 \pm 0,12$	$9,7 \pm 1,1$	$3,3 \pm 0,7$	6/5
	p	$0,77 \pm 0,10$	$8,1 \pm 0,9$	$1,5 \pm 0,8$	3/6
4	$\pi^+$	$0,53 \pm 0,03$	$15,7 \pm 0,8$	$3,95 \pm 0,14$	9/8
	p	$0,55 \pm 0,10$	$8,1 \pm 1,1$	$2,02 \pm 0,41$	2/6
6	$\pi^+$	$0,59 \pm 0,03$	$14,4 \pm 0,7$	$3,55 \pm 0,16$	11/9
	p	$0,60 \pm 1,02$	$5,0 \pm 3,4$	$2,0 \pm 3,0$	3/5
8	$\pi^+$	$0,64 \pm 0,04$	$13,7 \pm 0,9$	$3,4 \pm 0,2$	4/9
	p	$0,18 \pm 0,09$	$21,0 \pm 11,1$	$3,1 \pm 0,4$	2/4
10	$\pi^+$	$0,75 \pm 0,04$	$14,0 \pm 0,8$	$2,8 \pm 0,3$	3/5
	p	$0,73 \pm 0,54$	$10,8 \pm 6,6$	$2,9 \pm 5,6$	3/4
12	$\pi^+$	$0,63 \pm 0,16$	$17,9 \pm 5,2$	$5,1 \pm 1,5$	3/4
	p	$0,59 \pm 0,03$	$14,8 \pm 0,6$	$3,66 \pm 0,14$	7/8
всё	$\pi^+$	$0,54 \pm 0,09$	$7,9 \pm 0,9$	$2,19 \pm 0,30$	7/7

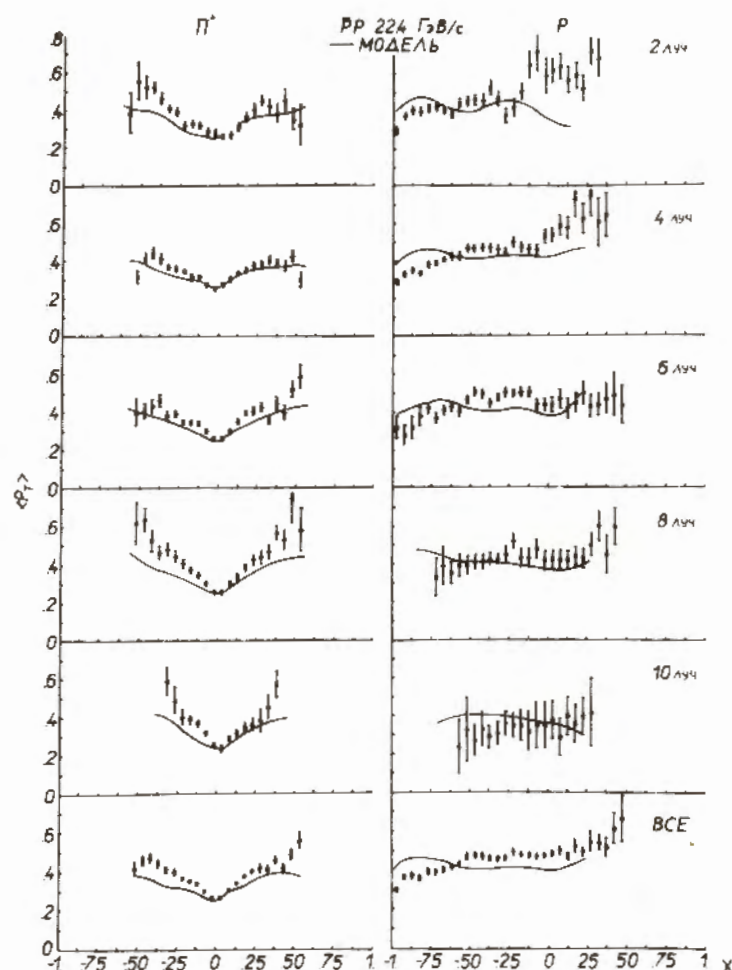
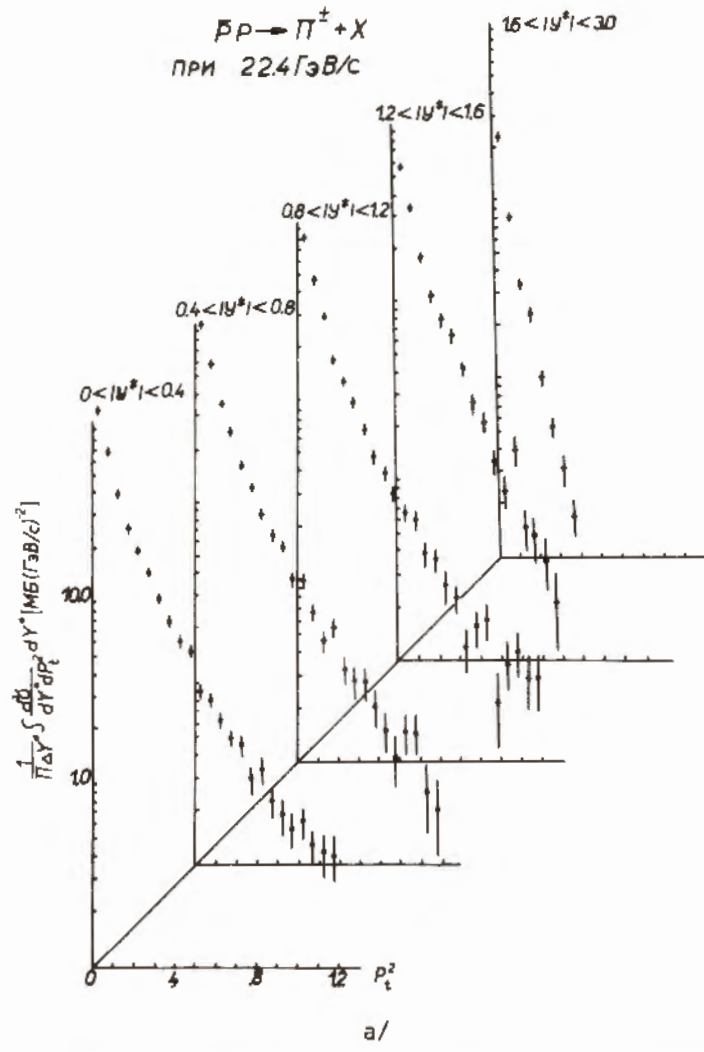


Рис.4. Зависимость  $\langle p_t \rangle$  от  $x$  для  $\pi^+$ -мезонов и протонов, образованных в инклузивных и полу-инклузивных реакциях. Сплошные кривые - кварк- partонная модель.

реакции pp при 12 и 24 ГэВ/с<sup>1/2</sup> наблюдалась факторизация по этим переменным в области  $|y^*| \leq 0,8$ . В табл.2 приводятся результаты аппроксимации инвариантного сечения  $F(y^*, p_t^2)$  в реакции pp /22,4 ГэВ/с/ для разных интервалов  $y^*$  для  $p^+$  и  $\pi^+$ -мезонов выражениями

$$F(y^*, p_t^2) \sim e^{-\sqrt{p_t^2 + m^2}/T}, \quad /4/$$

$$F(y^*, p_t^2) \sim \int_{-\infty}^{\infty} \frac{dp_L^*}{e^{p_L^* E^*/T} + 1}. \quad /5/$$



Видно, что значения параметра  $T$  в первых трех интервалах совпадают в пределах ошибок. Это обстоятельство указывает на факторизацию функции  $F(y^*, p_t^2)$  в области  $|y^*| \leq 1.2$  /см. также рис.5/. Следовательно, инвариантная функция  $F(x, p_t^2)$  не факторизуется, что видно из табл.3 /рис.6/, где приведены результаты аппроксимации экспериментальных данных выражениями /4/ и /5/ в разных интервалах по  $x$ .

Заметим, что малые значения  $y^*$  и  $x$  удобны для проверки статистического механизма, поскольку в этом случае возможные про-

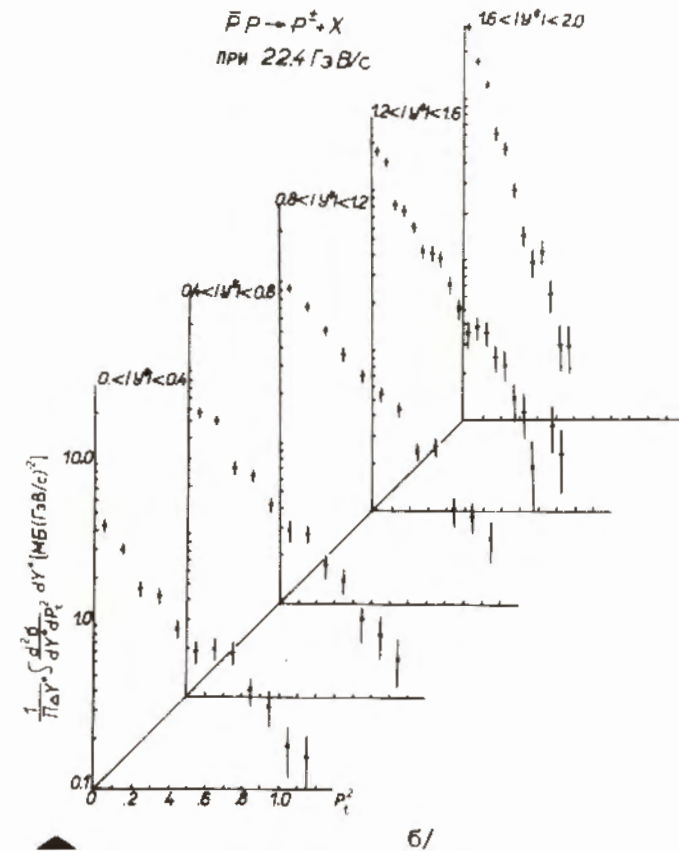


Рис.5. Инвариантное дважды дифференциальное сечение рождения  $\pi^\pm$ -мезонов /а/ и  $p^\pm$ /б/ как функция  $p_t^2$  в разных интервалах  $y^*$ .

дольные движения источников адронов мало сказываются на распределениях по поперечным импульсам вторичных частиц. Действительно, в центральных интервалах  $|y^*|$  и  $|x|$  значения параметра  $T$  - "температуры" - для  $\pi^\pm$ -мезонов и  $p^\pm$  практически совпадают. Причем, когда используется усредненное по  $p_L^*$  распределение Планка - ур. /5/ -  $T = m_\pi$ .

3. В заключение суммируем полученные в данной работе результаты:

а/ Спектры по поперечным импульсам для  $\pi^\pm$ -мезонов и протонов хорошо описываются суперпозицией двух экспонент. Кварк-

Таблица 2

Результаты аппроксимации инклюзивного дважды дифференциального сечения  $\frac{1}{\pi} \frac{d^2\sigma}{dy^* dP_t^2}$  рождения  $p^\pm$  и  $\pi^\pm$ -мезонов выражениями /4/ и /5/ в разных интервалах  $y^*$ .

Формула	$\frac{-\sqrt{P_t^2 + m^2}}{e} / \tau$	$\frac{\int_{-\infty}^{\infty} dP_t^*}{e^{\epsilon^* \gamma T} \pm 1}$
$y^*$ интервал для $\bar{H}^\pm$ для $P^\pm$		
$0,0 <  y^*  < 0,4$	$0,153 \pm 0,001$	$25/22$
$0,4 <  y^*  < 0,8$	$0,152 \pm 0,001$	$33/22$
$0,8 <  y^*  < 1,2$	$0,148 \pm 0,002$	$31/22$
$1,2 <  y^*  < 1,6$	$0,135 \pm 0,002$	$50/14$
$1,6 <  y^*  < 3,0$	$0,089 \pm 0,001$	$45/8$
		$12/10$
		$21/12$
		$20/12$
		$43/19$
		$16/10$
		$16/11$
$\bar{H}^\pm$	$\bar{H}^\pm$	$\bar{H}^\pm$
$P^\pm$	$\chi^2/N_D$	$\chi^2/N_D$
$\chi^2/N_D$	$\rho^\pm$	$\rho^\pm$
$\rho^\pm$	$\chi'^2/N_D$	$\chi'^2/N_D$
$\chi'^2/N_D$		

Таблица 3

Результаты аппроксимации инклюзивного дважды дифференциального сечения  $\frac{2E^*}{\pi \sqrt{s}} \frac{d^2\sigma}{dx dP_t^2}$  рождения  $p^\pm$  и  $\pi^\pm$ -мезонов выражениями /4/ и /5/ в разных интервалах  $x$ .

Формула	$\frac{-\sqrt{P_t^2 + m^2}}{e} / \tau$	$\frac{\int_{-\infty}^{\infty} dP_t^*}{e^{\epsilon^* \gamma T} \pm 1}$
$x$ интервал для $\bar{H}^\pm$ для $P^\pm$		
$ x  < 0,05$	$ x  < 0,1$	$0,161 \pm 0,002$
$0,05 <  x  < 0,1$	$0,151  x  < 0,3$	$0,173 \pm 0,002$
$0,1 <  x  < 0,2$	$0,189 \pm 0,002$	$128/16$
$0,2 <  x  < 0,3$	$0,202 \pm 0,004$	$126/19$
$0,3 <  x  < 0,4$	$0,221 \pm 0,006$	$44/18$
$0,4 <  x  < 0,6$	$0,242 \pm 0,009$	$28/11$
		$13/9$
		$38/13$
		$19/11$
		$26/10$
		$43/19$
		$16/11$
$\bar{H}^\pm$	$\bar{H}^\pm$	$\bar{H}^\pm$
$P^\pm$	$\chi^2/N_D$	$\chi^2/N_D$
$\chi^2/N_D$	$\rho^\pm$	$\rho^\pm$
$\rho^\pm$	$\chi'^2/N_D$	$\chi'^2/N_D$
$\chi'^2/N_D$		

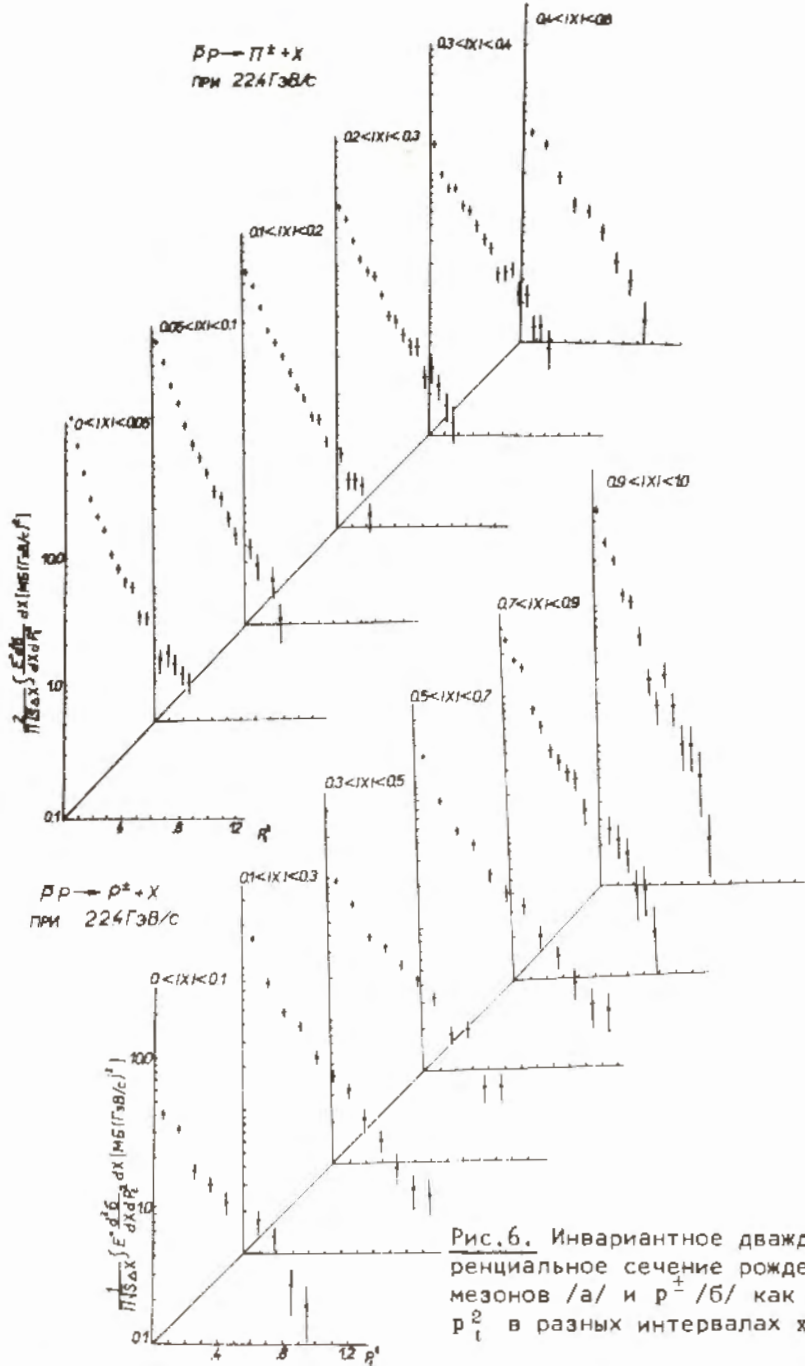


Рис. 6. Инвариантное дважды дифференциальное сечение рождения  $\pi^\pm$ -мезонов /а/ и  $\rho^\pm$ / б/ как функция  $p_t^2$  в разных интервалах  $x$ .

партонная модель качественно описывает эти распределения при малых значениях  $p_t^2$ , но занижает сечение образования  $\pi^\pm$ -мезонов и протонов при больших  $p_t^2$ .

б/ Зависимость среднего  $p_t$  от  $x$  для  $\pi^\pm$ -мезонов - "эффект чайки" - усиливается с ростом множественности, "Эффект чайки" в кварк-партонной модели слабее и не зависит от множественности. Наблюдаемый на эксперименте слабый рост  $\langle p_t \rangle$  с увеличением  $x$  для протонов кварк-партонной модели также не описывается.

в/ Для области  $|y^*| \leq 1.2$  наблюдается факторизация инвариантного дважды дифференциального сечения в переменных  $y^*$  и  $p_t^2$ . При малых значениях  $|x|$ ,  $|y^*|$   $p_t^2$ -распределения для  $\pi^\pm$ -мезонов и протонов хорошо описываются "статистической" формулой /5/ с одинаковой "температурой"  $T \approx m_\pi$ .

Авторы выражают свою благодарность персоналу, обеспечившему работу ускорителя У-70 ИФВЭ, техническому персоналу установки "Лидмила", а также лаборантам всех институтов сотрудничества за обработку данных.

Авторам приятно также поблагодарить сотрудника ИФВЭ ТГУ Н.К.Куциди за постоянный интерес и помощь в работе.

#### ЛИТЕРАТУРА

- Батюня Б.В. и др. ОИЯИ, 1-80-326, Дубна, 1980.
- Shuryak E.V., Zhirov O.V. Phys.Lett., 1980, v.89B, p.253.
- Cerny V. et al. Phys.Rev., 1977, v.D16, p.2822; ibid., 1978, v.D18, p.2409.
- Satz H. Proceedings of the 1977 European Conference on Particle Physics. Budapest, Hungary, 4-9 July 1977, p.379.
- Blobel V. et al. Nucl.Phys., 1974, v.B69, p.454.

Рукопись поступила в издательский отдел  
22 мая 1980 года.